

รายงานการวิจัย

การตอบสนองต่อรังสีของผลึกแคลเซียมคาร์บอเนตในตัวอย่าง สัตว์ทะเลชนิดมีเปลือกและกระดอง

สมหมาย ช่างเขียน¹ และ พวงพิพิร์ แก้วทับทิม¹

Abstract

Changkian, S. and Kaewtubtim, P.

Radiation dose response of calcium carbonate crystal in marine shells samples

Songklanakarin J. Sci. Technol., 2002, 24(1) : 117-122

A study of the evolution of element, crystal structure and thermoluminescence signal versus gamma irradiation dose were carried out for calcite shells samples. The composition of element was studied by X-ray fluorescence spectrometer. As identified by X-ray diffraction and SEM/EDS analysis, two polymorphs of calcium-carbonate were extracted: calcite and aragonite. The evolution of TL signal versus gamma irradiation dose using the TL reader (Harshaw 2000) was initially dependent on crystal structure and fading effect of the thermoluminescence signal .

Key words : marine shells, calcium carbonate, dose response

Department of Science, Faculty of Science and Technology, Prince of Songkla University, Muang, Pattani 94000 Thailand.

¹ วทม. (ฟลิกซ์) ภาควิชาวิทยาศาสตร์ คณะวิทยาศาสตร์และเทคโนโลยี มหาวิทยาลัยสงขลานครินทร์ อําเภอเมือง จังหวัดปัตตานี 94000

Corresponding e-mail : csommai@bunga.pn.psu.ac.th
รับต้นฉบับ 18 เมษายน 2544 รับลงพิมพ์ 12 กรกฎาคม 2544

บทคัดย่อ

สมหมาย ช่างเขียน และ พวงพิพย์ แก้วกันกิม

การตอบสนองต่อรังสีของผลึกแคลเซียมคาร์บอนेटในตัวอย่างสัตว์ทะเลชนิดมีเปลือกและกระดอง

ว. สงขลานครินทร์ วทท. 2545 24(1) : 117-122

การวิจัยครั้งนี้ได้ศึกษาความสัมพันธ์ระหว่างธาตุองค์ประกอบ โครงสร้างผลึกและผลการตอบสนองต่อการรับรังสีของโครงสร้างสัตว์ทะเลมีเปลือกและกระดองด้วยเครื่องอัลกอริธึมฟลูออเรสเซนต์เครื่องเอกซ์เรย์ดิฟเฟรคชั่น กล้องจุลทรรศน์อิเล็กตรอนชนิดส่องภาพพร้อมอุปกรณ์วิเคราะห์ชาตุและเครื่องอ่านแสงเทอร์โมลูมิเนสเซนซ์ (Harshaw 2000) ทำให้ทราบปริมาณแคลเซียมคาร์บอนेट โครงสร้างผลึกและทราบความสัมพันธ์ระหว่างแสงเทอร์โมลูมิเนสเซนต์ กับปริมาณรังสีที่ได้รับในตัวอย่างแต่ละชนิดซึ่งปัจจัยที่มีผลต่อกำลังของรังสีที่มีผลต่อความสัมพันธ์ของปริมาณทั้งสองคือลักษณะโครงสร้างของผลึกแคลเซียมคาร์บอนेटเอง (ผลึกในกลุ่มแคลไซท์และอะลาโกไนท์) และผลของการเลือนลางของสัญญาณที่ได้ (fading effect of the thermoluminescence signal) เมื่อทำการวัดแสงเทอร์โมลูมิเนสเซนซ์ของตัวอย่างอาจรังสีที่ผ่านการเก็บไว้เป็นเวลานาน

แคลเซียมคาร์บอนेटเป็นสารอนินทรีย์ที่มีอยู่ในธรรมชาติทั้งในสิ่งมีชีวิต เช่น โครงสร้างประเทกระดูกและฟัน เปลือกและกระดองต่างๆ และในสิ่งไม่มีชีวิต เช่น หินงอกหินย้อยตามผนังถ้ำต่างๆ จากการศึกษาพบว่าผลึกแคลเซียมคาร์บอนे�ตมีสมบัติในการปลดปล่อยแสงเทอร์โม-ลูมิเนสเซนต์ออกมากเมื่อถูกกระตุนด้วยความร้อน (Ugumori and Ikeya., 1980; Anderle *et al.*, 1998; Pagonis, 1998; Singh and Ingombi., 1995; Tatumi *et al.*, 1993) ผลการศึกษาแสดงเทอร์โมลูมิเนสเซนต์ในสัตว์ทะเลประเทกรมีเปลือกและกระดองซึ่งมีชาตุที่เป็นองค์ประกอบพื้นฐานคือ Na, K, Ca, Si, Al, S, Fe, Mn, Mg, Ti, P ของ Carmichael และคณะ (1994) โดยตรวจวัดสัญญาณได้ที่อุณหภูมิ 100-200 °C และ 240-400 °C Correcher และคณะ (1998) ได้ทำการศึกษาพบว่ามีการเลือนลางของสัญญาณเทอร์โมลูมิเนสเซนต์ในตัวอย่างพritchที่อบรังสีแกมมาเมื่อตัวอย่างอบรังสีที่ศึกษาเก็บไว้เป็นเวลากวานาน นอกจากนี้ยังมีการประยุกต์ใช้ตรวจวัดอาหารทะเลโดยรังสีโดย Pinnioja และ Lindberg (1998) จึงเห็นได้ว่าหากได้พัฒนาและประยุกต์ใช้เทคนิคการตรวจวัดบริมาณรังสีโดยวิธีเทอร์โมลูมิเนสเซนต์ในตัวอย่างที่มีองค์ประกอบแคลเซียมคาร์บอนे�ตให้พร้อมลายก็จะเป็นประโยชน์อย่างยิ่ง

งานวิจัยนี้มีวัตถุประสงค์ เพื่อหาความสัมพันธ์ของปริมาณผลึกแคลเซียมคาร์บอนे�ตในสัตว์ทะเลที่มีเปลือกและกระดองแต่ละชนิดกับปริมาณการรับรังสีและเพื่อหา

ความไวและความสามารถในการรับรังสีของสัตว์ทะเลที่มีเปลือกและกระดองโดยพิจารณาจากชาตุองค์ประกอบและโครงสร้างของผลึกในตัวอย่างแต่ละชนิด

วัสดุอุปกรณ์และวิธีการ

ในการศึกษาวิจัยในครั้งนี้ได้ใช้ตัวอย่างสัตว์ทะเลประเทกรมีเปลือกและกระดองที่พบเห็นในชีวิตประจำวันโดยทำการเตรียมตัวอย่างดังต่อไปนี้

1. การเก็บตัวอย่าง

เก็บตัวอย่างสัตว์ทะเลประเทกรมีเปลือกและกระดองที่มีจำหน่ายในจังหวัดปัตตานี คือ หอยแมลงภู่ (*Perna viridis*) หอยแครง (*Arca granulosa*) หอยหวาน (*Paphia undulata*) ปลาหมึกกระดอง (*Sepia pharaonis*) กุ้งแซบวัยขา (*Penaculus merguiensis*) และบ้ม้า (*Portunus pelagicus*) โดยนำเปลือกและกระดองที่ได้มาล้างน้ำทำความสะอาด ผึ่งให้แห้ง

2. การเตรียมตัวอย่างเพื่อวิเคราะห์ปริมาณความเข้มแสงเทอร์โมลูมิเนสเซนต์

นำตัวอย่างที่บดจนได้ขนาด 75-175 ไมครอน (โดยการกำหนดเวลาการบด) บรรจุในภาชนะปิดทึบแสงตัวอย่างละ 100 กรัมจำนวน 4 หลอดแล้วจึงนำไปอบ

รังสีแกรมมาโดยให้หลอดที่ 1 รับรังสีปริมาณ 10 Gy หลอดที่ 2 รับรังสีปริมาณ 20 Gy และหลอดที่ 3 รับรังสีปริมาณ 30 Gy จากแหล่งกำเนิด Co-60 ส่วนหลอดที่ 4 ไม่ผ่านการอาบรังสีไปซึ่งให้ได้น้ำหนักตัวอย่างละ 20 mg เพื่อนำไปอ่านค่าการปลดปล่อยแสงเทอร์โมลูมิเนสเซนต์

3. วิธีการวิจัย

ในการวิจัยครั้งนี้ได้ใช้เครื่องมือวิจัยทั้งในเชิงคุณภาพและเชิงปริมาณดังรายละเอียดต่อไปนี้

3.1 นำตัวอย่างในแต่ละกลุ่มไปส่องดูด้วยกล้องจุลทรรศน์อิเล็กตรอนชนิดวิเคราะห์มาตรฐาน เพื่อหาตำแหน่งของบริเวณที่มีผลึกแคลเซียมคาร์บอนे�ตอยู่ โดยเทคนิคเอกซ์เรย์ฟลואอเรสเซนต์ชนิด SEM/EDS ของ OXFORD INS. เปรียบเทียบองค์ประกอบของธาตุที่มีในตัวอย่าง

3.2 วิเคราะห์มาตรฐานที่เป็นองค์ประกอบหลักและวิเคราะห์ปริมาณแคลเซียมคาร์บอนे�ตโดยวิธีเรืองรังสีเอกซ์ด้วยเครื่อง เอกซ์เรย์ ฟลואอเรสเซนต์ สเปกโตรมิเตอร์ (PHILIPS PW2400)

3.3 วิเคราะห์โครงสร้างผลึกของแคลเซียมคาร์บอนे�ตด้วยเครื่องเอกซ์เรย์ดิฟเฟρεκซ์ (PHILIPS X'PERT MPD)

3.4 ศึกษาผลการตอบสนองต่อรังสีของตัวอย่างแต่ละชนิดด้วยเครื่องอ่านเทอร์โมลูมิเนสเซนต์ (Harshaw 2000) ตามขั้นตอนดังนี้

1. นำตัวอย่างแต่ละชนิดที่เตรียมได้และสารแคลเซียมคาร์บอนेट (Merck 99%) ซึ่งอาบรังสีแกรมมาจากเครื่องกำเนิด Co-60 ที่แต่ละระดับและที่ไม่ผ่านการอาบรังสีไปซึ่งให้ได้น้ำหนักตัวอย่างละ 20 mg เพื่อนำไปอ่านค่าการปลดปล่อยแสงเทอร์โมลูมิเนสเซนต์

2. อ่านผลการเกิดแสงเทอร์โมลูมิเนสเซนต์ของตัวอย่างแต่ละชนิดด้วยเครื่อง TLD READER HARSHAW 2000 โดยอ่านจากอุณหภูมิห้องไปถึงอุณหภูมิ 400 °C ด้วยอัตราการเพิ่มอุณหภูมิ 10 °C/s ในก้าวในโตรเจนและศักย์ไฟฟ้าของหลอดทวีคุณแสงเท่ากับ 850 โวลท์

3. บันทึกค่าที่ได้จากการอ่านผลการเกิดแสงเทอร์โมลูมิเนสเซนต์จากตัวอย่างแต่ละชนิดที่ระดับการรับรังสีปริมาณต่างๆ

ผลการทดลองและวิจารณ์

จากการศึกษาโดยเครื่องมือวิเคราะห์แบบต่างๆ ทำให้ได้ทราบถึงโครงสร้างและส่วนประกอบในตัวอย่างแต่ละชนิดดังนี้

1. ภาพโครงสร้างของกระดองหมึกที่ดูด้วยกล้องจุลทรรศน์อิเล็กตรอน ที่กำลังขยาย 220 เท่า (Figure 1) แสดงให้เห็นถึงโครงสร้างที่มีรูพรุนซึ่งเป็นส่วนขององค์



Figure 1. Structure of *Sepia pharaonis* from scanning electron microscope

ประกอบทางอินทรีย์และโครงสร้างแข็งที่เป็นส่วนประกอบของสารอนินทรีย์ และจากการวิเคราะห์ธาตุด้วยเทคนิคการเรืองรังสีเอกซ์รับบ์ SEM/EDS พบร่วมกับประกลบด้วยธาตุหลักคือ C, O, Mg และ Ca (Figure 2)

2. ธาตุที่เป็นองค์ประกอบและปริมาณแคลเซียมคาร์บอนेटในตัวอย่าง ซึ่งวิเคราะห์ด้วยเครื่องเอกซ์เรย์ฟลูออเรสเซนต์ (PHILIPS PW2400) ให้ผลของธาตุองค์ประกอบและปริมาณ CaCO_3 แตกต่างกัน (Table 1)

3. ผลการวิเคราะห์โครงสร้างของผลึกในตัวอย่างแต่ละชนิดด้วยเครื่อง เอกซ์เรย์ดิฟเฟรคชัน (PHILIPS X'PERT MPD) (Table 2)

4. ผลการตอบสนองต่อรังสีของผลึกแคลเซียมคาร์บอนेटในตัวอย่างแต่ละชนิดเมื่อตากต่างกัน (Table 3) และเมื่อนำไปสร้างกราฟความสัมพันธ์ระหว่างความเข้มแสงเทอร์โมลูมิเนสเซนต์กับปริมาณรังสีที่ให้ได้กราฟที่มีความแตกต่างกัน (Figure 3)

สรุปผล

จากการเก็บข้อมูลและเปรียบเทียบผลการวิเคราะห์ในตัวอย่างแต่ละชนิดสามารถสรุปผลการวิจัยได้ดังนี้

1. ปริมาณแคลเซียมคาร์บอนेटในตัวอย่างที่ศึกษา

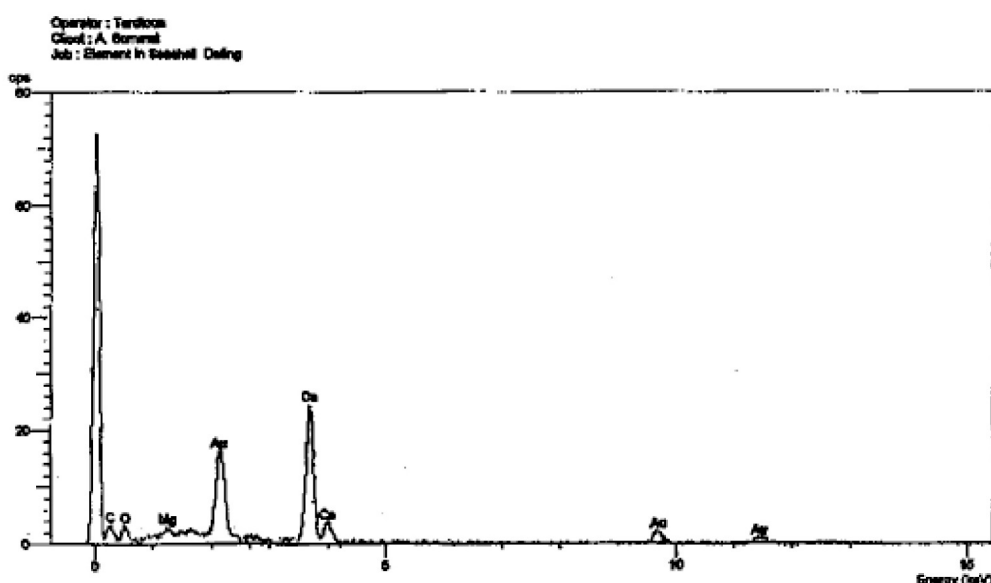


Figure 2. Spectrum from SEM/EDS of *Sepia pharaonis*

Table 1. Elements and quantity of CaCO_3 in marine shell samples

| No. | Sample | Element | CaCO_3 (%) |
|-----|------------------------------|-----------------------------------|---------------------|
| 1 | <i>Perna viridis</i> | O Na Mg Al Si P S Cl Ca Br Sr | 31.31 |
| 2 | <i>Portunus pelagicus</i> | O Na Mg Al Si P S Cl K Ca Mn Br S | 18.77 |
| 3 | <i>Sepia pharaonis</i> | O Na Mg Al Si P S Cl Ca Zn Br Sr | 60.02 |
| 4 | <i>Penaculus merguiensis</i> | O Na Mg Al Si P S Ca Br Sr | 16.82 |
| 5 | <i>Arca granulosa</i> | O Na Mg Al Si P S Cl K Ca Fe Sr | 67.25 |
| 6 | <i>Paphia undulata</i> | O Na Mg Al Si P S Cl K Ca Fe Sr | 51.08 |

Table 2. Crystal structure of marine shell samples

| No. | Sample | Structure |
|-----|----------------------------|-----------|
| 1 | <i>Perna viridis</i> | Aragonite |
| 2 | <i>Portunus pelagicus</i> | Calcite |
| 3 | <i>Sepia pharaonis</i> | Aragonite |
| 4 | <i>Penacus merguiensis</i> | Amorphus |
| 5 | <i>Arca granulosa</i> | Aragonite |
| 6 | <i>Paphia undulata</i> | Aragonite |

ไม่เป็นปฏิกิริยาตรงกับความเข้มแสงเทอร์โมลูมิเนสเซนต์ เสมอไปแสดงว่าหาดองค์ประกอบอื่นๆ ในตัวอย่างก็มีผลต่อ การปลดปล่อยแสงเทอร์โมลูมิเนสเซนต์ด้วย

2. ความแตกต่างของโครงสร้างผลึกแคลเซียมคาร์บอร์เนตไม่ให้ผลแตกต่างอย่างมีนัยสำคัญกับผลการตอบสนองต่อการรับรังสีของตัวอย่างแต่ละชนิด

3. เกิดผลการเลือนลาง (fading effect of the thermoluminescence signal) ของสัญญาณเทอร์โมลูมิเนสเซนต์ในตัวอย่างอาบรังสีที่เก็บไว้นานแต่ช่วงเวลาที่

Table 3. Dose response of CaCO_3 crystal from marine shell samples.

| Irradiation Dose (Gy) | TL intensity (nCu) | | | | | | |
|-----------------------|----------------------|---------------------------|------------------------|----------------------------|-----------------------|------------------------|-------------------------|
| | <i>Perna viridis</i> | <i>Portunus pelagicus</i> | <i>Sepia pharaonis</i> | <i>Penacus merguiensis</i> | <i>Arca granulosa</i> | <i>Paphia undulata</i> | CaCO_3 (Merck) |
| 0 | 74.3 | 219.2 | 469.2 | 64.0 | 588.5 | 715.8 | 247.6 |
| 10 | 63.7 | 237.7 | 360.0 | 60.9 | 914.5 | 683.0 | 349.0 |
| 20 | 60.5 | 254.8 | 365.4 | 63.7 | 1200.0 | 695.4 | 446.9 |
| 30 | 61.7 | 273.0 | 395.3 | 67.8 | 1580.0 | 730.1 | 560.6 |

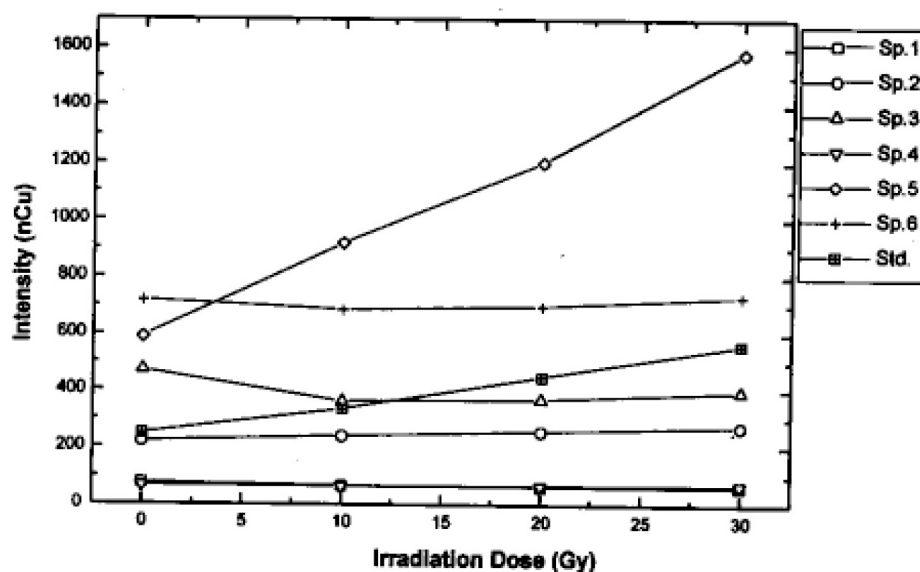


Figure 3. Irradiation dose versus TL intensity of research samples
(Sp.1 = *Perna viridis*; Sp.2 = *Portunus pelagicus*; Sp.3 = *Sepia pharaonis*;
Sp.4 = *Penacus merguiensis*; Sp.5 = *Arca granulosa*; Sp.6 = *Paphia undulata*;
Std. = CaCO_3 (Merck))

จะไม่เกิดผลตั้งกล่าวอยู่ในระยะเวลาเท่าไรจะต้องทำการศึกษาเพิ่มเติมต่อไปเนื่องจากการวิจัยครั้งนี้ได้ใช้เครื่องมือหลักในหน่วยงานอื่นจึงทำการตรวจสอบจากอาบังสีผ่านไปแล้วหลายเดือน

4. ผลที่ได้แสดงให้ทราบว่าเปลือกและกระดองของสัตว์ทะเลสามารถที่จะใช้ตรวจวัดปริมาณรังสีในธรรมชาติได้ และใช้ในการบ่งบอกอายุของซากสิ่งมีชีวิตเหล่านี้ในแหล่งโบราณคดีได้

กิตติกรรมประกาศ

ขอขอบคุณ คุณพูลสุข พงษ์พัฒน์ ผู้อำนวยการ กองการวัด สำนักงานพลังงานประมาณเพื่อสันติ และ คุณวราภรณ์ วนิชสุขสมบัติ นักวิทยาศาสตร์นิวเคลียร์ที่ให้ความสนใจในการใช้เครื่องมือในการวิจัยนี้ ขอบคุณ ดร.ยุพดี ชัยสุขสันต์ ที่ช่วยตรวจสอบบทคัดย่อภาษาอังกฤษ ดร. กรีษณ์ ศักดิ์ทวีกุลกิจ ที่ช่วยเหลือในการดำเนินการค้นชื่อ วิทยาศาสตร์ของตัวอย่างที่ใช้วิจัยซึ่งมีส่วนให้งานวิจัยนี้เสร็จ สมบูรณ์

เอกสารอ้างอิง

Anderle, H., Steffan, I., Wild, E., Hille, P., Bermanec, V. and Sovegjarto, F. 1998. Detection and Dosimetry of Irradiated Biominerals with Thermoluminescence, Radiolyoluminescence and

Electron Spin Resonance Measurements: Comparison of Methods, Radia. Meas. 29(5) : 531-551.

Carmichael, L.A., Sanderson, D.C.W. and Ni Riain, N. 1994. Thermoluminescence Measurement of Calcite Shells, Radia. Meas. 23 (2/3) : 455-463.

Correcher, V., Muniz, J.L. and Gomez-Ros, J.M. 1998. Dose Dependence and Fading Effect of the Thermoluminescence Signals in Gamma-Irradiated Paprika, J. of Sc. Food Agr. 76: 149-155.

Pagonis, V. 1998. The Effect of Annealing Atmosphere on the Thermoluminescence of Synthetic Calcite, Radia. Meas. 29 (1): 45-52.

Pinioja, S. and Lindberg, A. 1998. Effect of Mineral composition on Thermoluminescence detection of irradiated seafood, Radia. Meas. 29 (6): 651-661.

Singh, S.D. and Ingombi, S. 1995. Thermoluminescence glow curve of irradiated calcite, J. of Phy. D:App. Phy. 28:1509-1516.

Tatumi, S.H., Nagatomo, T., Matsuoka, M. and Watanabe, S. 1993. Thermoluminescence and esr in an aragonite speleothem, J. of Phy. D: App. Phy. 26:1482-1486.

Ujamori, T. and Ikeya, M. 1980. Luminescence of CaCO_3 under N2 Laser Excitation and Application to Archaeological Dating, Jap. J. of App. Phy. 19(3) :459-465.